

К ТЕОРИИ ФЕРРОМАГНЕТИЗМА ПЕРЕХОДНЫХ МЕТАЛЛОВ КУБИЧЕСКОЙ СИММЕТРИИ

P. O. Зайцев*

Российский научный центр «Курчатовский институт»
123182, Москва, Россия

Поступила в редакцию 4 июня 2002 г.

На основе представления о сильном взаимодействии в одной и той же элементарной ячейке установлена возможность существования ферромагнитной неустойчивости в системе с перескоками между катионами переходных элементов. Построена фазовая диаграмма существования ферромагнитного упорядочения в зависимости от среднего числа дырок (h_d) в $3d^{10}$ -оболочке переходных элементов.

PACS: 74.20.-z, 74.70.Ad, 74.20.Mn, 74.25.Dw

1. ВВЕДЕНИЕ

Обменное взаимодействие свободных электронов, если его рассматривать как возмущение, всегда приводит к отрицательной поправке, что соответствует тенденции электронов к ферромагнетизму.

При изучении возбуждений локализованных s -электронов сильное хаббардовское отталкивание при малой плотности электронов также приводит к существенному увеличению спиновой части параметрической восприимчивости, однако при этом ферромагнетизм не возникает [1].

Будет показано, что амплитуда обменного рассеяния имеет отрицательный знак только для ограниченного интервала энергий, что соответствует конечному интервалу концентрации d -дырок.

Число $4s$ -электронов, приходящихся на одну элементарную ячейку n_s , фактически есть подгоночный параметр. Согласно зонным расчетам, которые качественно подтверждаются экспериментом, его значение не превышает единицы.

Используя уравнение электронейтральности, находим, что среднее число $3d$ -дырок h_d , приходящееся на одну ячейку, меньше единицы для Ni, находится в интервале от 1 до 2 для Co и от 2 до 3 для Fe.

Для каждого из перечисленных интервалов будет построена магнитная фазовая диаграмма и определена температурная зависимость магнитной вос-

приимчивости, относящейся к параметрической фазе. Будут рассмотрены также причины отсутствия ферромагнетизма марганца и хрома, палладия и платины, для которых соответственно $3 < h_d < 5$ и $h_d < 1$.

Вычисления магнитной восприимчивости проводятся в рамках однопотлевого приближения с использованием затравочной полуэллиптической плотности состояний. Соответствующая полуширина есть единственный энергетический параметр, поскольку во всех случаях энергия Хаббарда считается бесконечной.

2. ОБЩИЕ СООТНОШЕНИЯ

После проведения диагонализации нулевого гамильтониана, соответствующего неперекрывающимся атомным состояниям, операторы рождения и уничтожения представляются в виде разложения по всевозможным переходам между N - и $(N+1)$ -дырочными состояниями:

$$\begin{aligned}\hat{a}_{(m,\sigma)}^+(\mathbf{r}) &= \sum_{\alpha} g_{\alpha}^{m,\sigma} \hat{X}_{\mathbf{r}}^{\alpha}, \\ \hat{a}_{(n,\sigma)}^-(\mathbf{r}) &= \sum_{\beta} g_{\beta}^{n,\sigma} \hat{X}_{\mathbf{r}}^{\beta}.\end{aligned}\quad (1)$$

Здесь индексы « α », « β » отвечают взаимно обратным переходам $s \rightarrow m$, т. е. $\beta(m,s) = -\alpha(s,m)$. Величины $g_{\alpha}^{m,\sigma}$ называются генеалогическими коэффициентами и вычисляются ниже.

*E-mail: zaitsev@mbslab.kiae.ru

Уравнения для нахождения средних чисел заполнения n_m находим из определения температурной функции Грина, вычисленной для каждой пары со-сопряженных X -операторов (см. [2]):

$$\begin{aligned} D^{\alpha,\beta}(\mathbf{r}, \tau; \mathbf{r}, \tau') = & -\Theta(\tau - \tau') \langle X_{\mathbf{r}}^{\alpha}(\tau) X_{\mathbf{r}'}^{\beta}(\tau') \rangle + \\ & + \Theta(\tau' - \tau) \langle X_{\mathbf{r}'}^{\beta}(\tau') X_{\mathbf{r}}^{\alpha}(\tau) \rangle. \end{aligned} \quad (2)$$

Для вычисления одночастичной функции Грина используем простейшее однопетлевое приближение самосогласованного поля. В этом приближении компоненты Фурье одночастичной функции Грина $D_{\omega}^{\alpha,\beta}(\mathbf{p})$ только множителями f_{β} отличаются от так называемой виртуальной функции Грина $G_{\omega}^{\alpha,\beta}(\mathbf{p})$, которая, в свою очередь, удовлетворяет уравнению типа Дайсона:

$$\begin{aligned} D_{\omega}^{\alpha,\beta}(\mathbf{p}) &= G_{\omega}^{\alpha,\beta}(\mathbf{p}) f_{\beta}, \\ \left\{ \hat{G}_{\omega}^{-1}(\mathbf{p}) \right\}_{\beta}^{\alpha} &= \{i\omega - \epsilon_m + \epsilon_s\} \delta(\alpha + \beta) - \Sigma_{\omega}^{\alpha,\beta}(\mathbf{p}). \end{aligned} \quad (3)$$

Здесь $(\epsilon_m - \epsilon_s)$ — энергия перехода, отвечающая номеру перехода α , $\omega = T(2n + 1)\pi$.

При заданных номерах одночастичного перехода $\beta(m, s)$ каждый концевой множитель f_{β} по определению равен сумме средних чисел заполнения начального и конечного состояний [3]. С другой стороны, в нашем приближении собственно-энергетическая часть есть сумма произведения концевого множителя на обобщенную матрицу перескоков и однопетлевой поправки, которая не зависит ни от частоты, ни от импульса:

$$\begin{aligned} f_{\alpha(s,m)} &= n_s + n_m, \quad \Sigma^{\alpha,\beta}(\mathbf{p}) = f_{\alpha} t_{\beta}^{\alpha}(\mathbf{p}) + \Sigma^{\alpha,\beta}, \\ t_{\beta}^{\alpha}(\mathbf{p}) &= g_{\alpha}^{k,\sigma} t_s^k(\mathbf{p}) g_{\beta}^{s,\sigma}. \end{aligned} \quad (4)$$

Средние значения для чисел заполнения n_{N+1}^m конечных состояний m находим через диагональную компоненту при $\beta = -\alpha$:

$$\begin{aligned} \lim_{\delta \rightarrow +0} D^{\alpha,\beta}(\mathbf{r}, \tau; \mathbf{r}, \tau + \delta) &= \\ &= \lim_{\delta \rightarrow +0} T \sum_{\omega, \mathbf{p}} D_{\omega}^{\alpha,\beta}(\mathbf{p}) \exp(i\omega\delta) = \\ &= \langle X_{\mathbf{r}}^{\beta(m,s)} X_{\mathbf{r}}^{\alpha(s,m)} \rangle = \langle X_{\mathbf{r}}^{m,s} X_{\mathbf{r}}^{s,m} \rangle = \\ &= \langle X_{\mathbf{r}}^{m,m} \rangle = n_{N+1}^m. \end{aligned} \quad (5)$$

Уравнения (4) определяют все концевые множители $f(\alpha(s, m)) = n_s + n_m$, которые входят в определение диагональных компонент одночастичной функции Грина, которая, в свою очередь, выражается через всевозможные концевые множители.

В однопетлевом приближении собственно-энергетические части не зависят ни от импульса, ни

от частоты. В используемых ниже упрощенных вычислениях они оказываются диагональными по номеру перехода: $\Sigma^{\alpha,\beta} = \delta_{\alpha,\beta} \Sigma_{\alpha}$. Если ограничиться переходами между высокоспиновыми N - и $(N + 1)$ -дырочными состояниями, вместо индексов « α » и « β » удобно использовать величину проекции спина $(N + 1)$ -дырочного состояния со спином $S = (N + 1)/2$ (см., например, [4]). При этом квадраты генеалогических коэффициентов определяются через величину спина S и его проекцию M :

$$|g_S(M)| = \sqrt{\frac{S + M}{2S}}, \quad (6)$$

$$M = S, S - 1, S - 2, \dots, -S.$$

Фигурирующие в выражении для функции Грина (2) средние числа заполнения также определяются через величину полного спина и его проекцию. При включении магнитного поля происходит расщепление энергетических уровней, которое определяет поправки к средним числам заполнения.

Связь между вариациями N - и $(N \pm 1)$ -частичных состояний удается выразить через среднее значение диагональной компоненты функции Грина при нулевом значении магнитного поля:

$$\begin{aligned} K &= \frac{T}{g^2} \lim_{\delta \rightarrow +0} \sum_{\omega, \mathbf{p}} \sum_{\alpha, \beta} g_{\alpha} G_{\omega}^{\alpha,\beta}(\mathbf{p}) g_{\beta} f_{\beta} \exp(i\omega\delta), \\ g^2 &= \sum_{\alpha} g_{\alpha}^2. \end{aligned} \quad (7)$$

Чтобы получить уравнения для нахождения концевых множителей проведем усреднение T -произведения оператора уничтожения (1) на линейную комбинацию из сопряженных X -операторов с произвольными коэффициентами $\gamma_{\alpha}^{m,\sigma}$:

$$\begin{aligned} \hat{Y}_{(m,\sigma)} &= \sum_{\beta} \gamma_{\beta}^{m,\sigma} \hat{X}_{(m,\sigma)}^{\beta} \times \\ &\times \left\langle \hat{T} \left(\hat{a}_{(n,\sigma)}(\mathbf{r}, \tau) \hat{Y}_{(m,\sigma)}(\mathbf{r}', \tau') \right) \right\rangle = \\ &= \sum_{\alpha, \beta} g_{\alpha}^{n,\sigma} \gamma_{\beta}^{m,\sigma} \left\langle \hat{T} \left(\hat{X}_{\mathbf{r},\tau}^{\alpha} \hat{X}_{\mathbf{r},\tau'}^{\beta} \right) \right\rangle. \end{aligned} \quad (8)$$

Здесь использовано разложение оператора уничтожения (1) с помощью известных генеалогических коэффициентов $g_{\beta}^{n,\sigma}$. После перехода к пределу $\tau' \rightarrow \tau$, $\tau' > \tau$ получаем уравнения для нахождения всех $(N + 1)$ -частичных чисел заполнения n_{N+1}^s :

$$\sum_{\alpha} g_{\alpha(m,s)}^{(k,\sigma)} n_{N+1}^s \gamma_{\alpha(s,m)}^{(k,\sigma)} = \\ = T \lim_{\delta \rightarrow +0} \sum_{\omega, \mathbf{p}} \sum_{\alpha, \beta} g_{\alpha(m,s)}^{(k,\sigma)} D_{\omega}^{\alpha, \beta}(\mathbf{p}) \gamma_{\beta(s,m)}^{(k,\sigma)} \times \\ \times \exp(i\omega\delta). \quad (9)$$

Подставим в эти уравнения выражение (3) для функции Грина:

$$\sum_{\alpha} g_{\alpha(m,s)}^{(k,\sigma)} n_{N+1}^s \gamma_{\alpha(s,m)}^{(k,\sigma)} = T \sum_{\alpha, \beta} g_{\alpha(m,s)}^{(k,\sigma)} \times \\ \times \lim_{\delta \rightarrow +0} \sum_{\omega, \mathbf{p}} G_{\omega}^{\alpha, \beta}(\mathbf{p}) \exp(i\omega\delta) f_{\beta} \gamma_{\beta(s,m)}^{(k,\sigma)}. \quad (10)$$

Проведем явное вычисление входящей в правую сторону суммы по левым индексам:

$$\sum_{\alpha} g_{\alpha(m,s)}^{(k,\sigma)} G_{\omega}^{\alpha, \beta}(\mathbf{p}) = W_{\omega}^{\beta}(\mathbf{p}). \quad (11)$$

Для этой цели используем упрощенное выражение для обратной функции Грина:

$$\left[\hat{G}_{\omega}^{-1}(\mathbf{p}) \right]_{\beta}^{\alpha} = (E_{\omega}^{\alpha, \sigma}) \delta_{\alpha, \beta} - g_{\alpha} f_{\alpha} t_{\mathbf{p}} g_{\beta}. \quad (12)$$

Для простоты вычислений считаем, что компоненты Фурье матрицы интегралов перескока $t_{\mathbf{p}}$ не зависят от номеров конечных и начальных состояний для выделенной группы переходов. Это предположение приводит к ликвидации недиагональных по индексам « α » и « β » компонент собственной энергии Σ_{α} , которые в однопетлевом приближении не зависят ни от частоты, ни от квазимпульса. Одночастичная энергия E_{α} зависит от разности N -дырочных и $(N+1)$ -дырочных состояний и оказывается равной сумме химического потенциала и величины спинового расщепления в заданном магнитном поле H :

$$E_{\omega}^{\alpha, \sigma} = i\omega + \mu + \sigma H - \Sigma_{\alpha}, \\ \omega = (2k+1)\pi T, \quad \sigma = \pm 1. \quad (13)$$

Таким образом, нас интересует только спиновая зависимость от величины приложенного слабого магнитного поля, что соответствует дальнейшей возможности определить спиновую магнитную восприимчивость и исследовать возможность появления ферромагнитной неустойчивости.

Явное выражение для обратной функции Грина (12) позволяет определить искомую сумму по индексам « α » в формуле (11):

$$W_{\omega}^{\beta}(\mathbf{p}) = \frac{g_{\beta}}{E_{\omega}^{\beta, \sigma}} \left[1 - \sum_{\alpha} \frac{g_{\alpha}^2 t_{\mathbf{p}} f_{\alpha}}{E_{\omega}^{\alpha, \sigma}} \right]^{-1}. \quad (14)$$

В результате находим явный вид уравнений (10):

$$\sum_{\beta} g_{\beta} n_{N+1}^{\beta} \gamma_{\beta} = T \lim_{\delta \rightarrow +0} \sum_{\omega, \mathbf{p}} \exp(i\omega\delta) \times \\ \times \sum_{\beta} \frac{g_{\beta} f_{\beta} \gamma_{\beta}}{E_{\omega}^{\beta, \sigma}} \left[1 - \sum_{\alpha} \frac{g_{\alpha}^2 t_{\mathbf{p}} f_{\alpha}}{E_{\omega}^{\alpha, \sigma}} \right]^{-1}. \quad (15)$$

Поскольку числовые коэффициенты γ_{β} произвольны, число независимых уравнений, содержащихся в соотношениях (15), при заданных значениях генеалогических коэффициентов g_{β} равно числу возможных значений β , которое равно числу различных переходов, определяемых исходным разложением (1).

В пределе $H \rightarrow 0$ концевые множители и однопетлевые собственно-энергетические части оказываются не зависящими от номера перехода β , т. е.

$$\lim_{H \rightarrow 0} f_{\beta} = f_0, \quad \lim_{H \rightarrow 0} E_{\omega}^{\beta, \sigma} = i\omega + \mu_0.$$

Полагая в уравнениях (15) $\gamma_{\beta} = g_{\beta}$ и переходя к пределу $H \rightarrow 0$, получаем уравнение для нахождения средних $(N+1)$ -дырочных состояний:

$$n_{N+1} = R_{1+N} f_0 K, \\ K = T \lim_{\delta \rightarrow +0} \sum_{\omega, \mathbf{p}} \frac{\exp(i\omega\delta)}{[i\omega - \xi_{\mathbf{p}}]} = \sum_{\mathbf{p}} n_F(\xi_{\mathbf{p}}), \quad (16)$$

где R_{N+1} — кратность $(N+1)$ -дырочного состояния в отсутствие магнитного поля, $n_F(\epsilon)$ — распределение Ферми, $\xi_{\mathbf{p}} = (g^2 f_0 t_{\mathbf{p}} - \mu_0)$ — энергия одночастичных возбуждений, g^2 — полная сумма квадратов генеалогических коэффициентов с учетом кратности вырождения выделенной группы переходов $g^2 = \sum_{\alpha} g_{\alpha}^2$.

Поскольку в отсутствие поля концевой множитель равен сумме чисел заполнения N - и $(N+1)$ -дырочных состояний, полное число дырок выражается через интегральную функцию K с помощью следующего уравнения:

$$n = [n] + R_{1+N} f K, \quad f_0 = \frac{1+[n]-n}{R_N} + \frac{n-[n]}{R_{N+1}}, \\ [n] \leq n < [n] + 1. \quad (17)$$

Здесь квадратные скобки обозначают целую часть, а второе соотношение может быть записано с учетом того, что в используемом приближении концевой множитель есть линейная функция от чисел заполнения.

Система уравнений (16), (17) определяет связь между химическим потенциалом, температурой и плотностью n дырок. Для удобства вычислений

можно ввести перенормированный химический потенциал и перенормированную температуру:

$$\mu_0 = \tilde{\mu}_0 f_0 g^2, \quad T = \tilde{T} f_0 g^2, \quad (18)$$

тогда интегральная функция K будет зависеть от \tilde{T} и $\tilde{\mu}$, как если бы эти переменные являлись температурой и химическим потенциалом идеального газа. Далее с помощью уравнений (17) находим зависимость от этих параметров для концевого множителя f_0 и среднего числа n дырочных состояний, после чего с помощью (18) определим истинную температуру и химический потенциал.

Для нахождения температурной и концентрационной зависимостей спиновой магнитной восприимчивости положим в уравнениях $\gamma_\beta = g_\beta$ для тех переходов, которые различаются величиной проекции полного спина в конечном $(N+1)$ -дырочном состоянии. Для остальных переходов с той же конечной проекцией спина положим $\gamma_\beta = 0$, а затем проведем варьирование правой части уравнения (15) по величине магнитного поля, по величине концевых множителей, а также по однопетлевым собствено-энергетическим частям:

$$\sum_{k=-S+1}^S g_k^2 \delta n_{N+1}^{(k)} = (K + g^2 f_0 D_1) \sum_{k=-S+1}^S g_k^2 \delta f_k + \\ + D_0 f_0 \sum_{k=-S+1}^S g_k^2 \delta \Sigma_k - b^2 f_0 D_0 \delta H. \quad (19)$$

Коэффициенты этого уравнения вычисляются при нулевом внешнем магнитном поле:

$$D_s = T \lim_{\delta \rightarrow +0} \sum_{\omega, \mathbf{p}} t_{\mathbf{p}}^s \frac{\exp(i\omega\delta)}{[i\omega - \xi_{\mathbf{p}}]^2} = \sum_{\mathbf{p}} t_{\mathbf{p}}^s n_F'(\xi_{\mathbf{p}}). \quad (20)$$

Величина $b^2 = \sum_k g_k^2$ — сумма квадратов генеалогических коэффициентов, относящихся к состояниям с заданной проекцией полного спина в конечном состоянии и фиксированной совокупности одночастичных орбитальных состояний. С помощью определения (6) находим

$$b^2 = \sum_{M=-S}^S \frac{S+M}{2S} = S + \frac{1}{2}. \quad (21)$$

Если рассматривать всевозможные одночастичные переходы к состояниям с заданным полным спином S высокоспиновых $(N+1)$ -дырочных состояний, то мы получим несколько групп переходов, для которых справедливо определение (6). В этом случае сумму квадратов генеалогических коэффициентов

g^2 при заданном полном спине S высокоспиновых $(N+1)$ -дырочных состояний и при заданном числе κ различных орбитальных состояний находим через комбинаторный множитель:

$$g^2 = b^2 C_{\kappa-1}^{2S-1} = b^2 \frac{(\kappa-1)!}{(2S-1)!(\kappa-2S)!}. \quad (22)$$

При заданном значении полного числа κ орбитальных компонент в общем случае следует рассмотреть различные значения полного спина: от $S = 1/2$ до $S = \kappa/2$.

Остальные уравнения для вариации $(N+1)$ -дырочных состояний удобно записать с помощью вспомогательных коэффициентов γ_k , удовлетворяющих условию ортогональности к совокупности различных генеалогических коэффициентов:

$$\sum_{k=-S+1}^S g_k \gamma_k = 0. \quad (23)$$

Проводя варьирование уравнения (15) с учетом этих условий, получаем $2S-1$ возможных соотношений, которые не зависят от вариации магнитного поля:

$$\sum_{k=-S+1}^S g_k \gamma_k \delta n_{N+1}^{(k)} = K \sum_{k=-S+1}^S g_k \gamma_k \delta f_k + \\ + f_0 A \sum_{k=-S+1}^S g_k \gamma_k \delta \Sigma_k. \quad (24)$$

При этом появляется новый коэффициент, имеющий особенность при нулевой энергии возбуждений:

$$A = \sum_{\mathbf{p}} \frac{n_F(\xi_{\mathbf{p}}) - n_F(-\mu)}{\xi_{\mathbf{p}} + \mu}. \quad (25)$$

Поскольку в правую часть системы уравнений (20), (24) вариации средних чисел заполнения входят неявно только через вариации концевых множителей, к этим уравнениям необходимо присоединить соотношения, с помощью которых вариации средних чисел заполнения δn_{N+1}^k выражаются через вариации концевых множителей δf_k .

Эти соотношения нетрудно получить, если заметить, что при наложении внешнего магнитного поля вариации δn^k чисел заполнения, соответствующие заданной проекции спина $k = S^z \neq 0$, только знаком отличаются от вариаций чисел заполнения, относящихся к тому же состоянию, но с противоположной проекцией спина.

Учитывая связь между номером концевого множителя $k = S^z$ и значениями проекции спина для N -

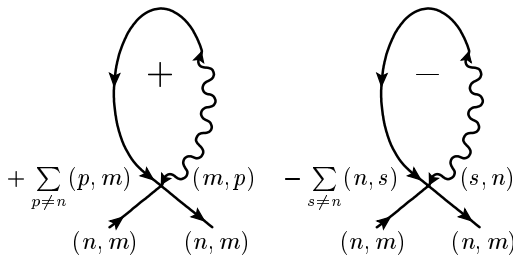


Рис. 1. Однопетлевые собственно-энергетические части

и $(N+1)$ -дырочных состояний $f_k = n_{N+1}^{(k)} + n_N^{(k-1/2)}$, сразу находим искомые соотношения:

$$\begin{aligned} \sum_{k=1-S+p}^{S-p} \delta f_k &= \sum_{k=1-S+p}^{S-p} \delta n_{N+1}^{(k)} + \sum_{k=1-S+p}^{S-p} \delta n_N^{(k-1/2)} = \\ &= \sum_{k=1-S+p}^{S-p-1} \delta n_{N+1}^{(k)} + \delta n_{N+1}^{(S-p)} = \delta n_{N+1}^{(S-p)}. \end{aligned} \quad (26)$$

Здесь числа p могут принимать все целые значения от нуля до $[S]$, так что соотношения (26) полностью решают задачу об исключении из левой части уравнений (19), (24) вариации всех $N+1$ -дырочных чисел заполнения.

Для того чтобы получить уравнения для вариации собственно-энергетических частей Σ_α , представим собственно-энергетическую часть в виде суммы двух слагаемых, каждое из которых содержит одиночественную функцию Грина, просуммированную по импульсам и частотам (см. рис. 1):

$$\Sigma_\alpha = A_{\alpha,\beta} Y_\beta^\sigma + B_{\alpha,\beta} Y_\beta^{-\sigma}, \quad (27)$$

где $A_{\alpha,\beta}$ и $B_{\alpha,\beta}$ — заданные числовые матрицы, определяемые матричными элементами кинематического взаимодействия, характерные для заданной группы спиновых состояний. Функции Y_β^σ выражаются через ту же сумму $W_\omega^\alpha(\mathbf{p})$, что и при вычислении чисел заполнения:

$$\begin{aligned} Y_\alpha^\sigma &= g_\alpha T \sum_{\omega, \mathbf{p}} t_\mathbf{p} \sum_\beta g_\beta [G_\omega(\mathbf{p}, \sigma)]_\alpha^\beta = \\ &= g_\alpha T \sum_{\omega, \mathbf{p}} t_\mathbf{p} W_\omega^\alpha(\mathbf{p}). \end{aligned} \quad (28)$$

Подставляя сюда явное выражение (14), находим

$$Y_\alpha^\sigma = g_\alpha^2 T \sum_{\omega, \mathbf{p}} t_\mathbf{p} \frac{1}{E_\omega^{\alpha, \sigma}} \left[1 - \sum_\nu \frac{g_\nu^2 t_\mathbf{p} f_\nu^\sigma}{E_\omega^{\nu, \sigma}} \right]^{-1}. \quad (29)$$

При нулевом внешнем магнитном поле однопетлевые поправки не зависят от номера перехода, что

дает несущественную поправку к химическому потенциалу.

При вычислении вариации Σ по величине внешнего магнитного поля используем очевидное соотношение

$$\delta \Sigma_\alpha = A_{\alpha,\beta} \delta Y_\beta^\sigma - B_{\alpha,\beta} \delta Y_\beta^{-\sigma}. \quad (30)$$

Далее естественно ввести числовую матрицу

$$S_{\alpha,\beta} = A_{\alpha,\beta} g_\beta^2 - B_{\alpha,\beta} g_\beta^2, \quad (31)$$

через которую выражаются вариации правых частей соотношений (29) и (24):

$$\begin{aligned} \delta \Sigma_k &= g^2 \sum_{p=-S+1}^S D_{k,p}^{(2)} \delta f_p + \\ &+ \sum_{p=-S+1}^S [D_{k,p}^{(1)} - F_{k,p}] \delta \Sigma_p - R_k D_1 \delta H. \end{aligned} \quad (32)$$

Здесь введены компоненты числового вектора $R_k = \sum_{p=-S+1}^S S_{k,p}$, через который выражаются все остальные матрицы:

$$\begin{aligned} D_{k,p}^{(n)} &= D_n U_{k,p}, \\ F_{k,p} &= Q W_{k,p}, \quad Q = \frac{[K - n(-\mu)]}{f_0 g^2}, \end{aligned} \quad (33)$$

здесь число $g^2 = \sum_\alpha g_\alpha^2$ только множителем $C_{\kappa-1}^{2S-1}$ отличается от $b^2 = \sum_k b_k^2$,

$$U_{k,p} = \frac{R_k g_p^2}{b^2}, \quad b^2 = S + \frac{1}{2}, \quad W_{k,p} = U_{k,p} - S_{k,p}, \quad (34)$$

где S — величина спина $(N+1)$ -дырочных состояний, κ — полное число выделенных орбитальных состояний.

Таким образом, при заданных числах $S_{k,p}$ и коэффициентах D_n, A, K, Q система уравнений (19), (24), (26) и (32) позволяет найти вариации всех концевых множителей и однопетлевых собственно-энергетических частей (рис. 1).

Чтобы определить спиновую восприимчивость χ , необходимо найти поправки к спиновому магнитному моменту:

$$\begin{aligned} \chi &= 2\kappa \frac{\mu_B^2}{v_0} \frac{\delta M}{\delta H}, \\ \delta M &= \sum_{k=-S}^S k \delta n_{N+1}^{(k)} + \sum_{m=-S+1/2}^{S-1/2} m \delta n_N^{(m)}, \end{aligned} \quad (35)$$

v_0 — объем элементарной ячейки,

Линейная комбинация вариаций чисел заполнения, входящая в определение вариации спинового момента, должна быть выражена через вариации концевых множителей, которые находим из системы уравнений (19), (24), (26) и (32).

Для получения соответствующего соотношения сначала вычислим вспомогательную сумму, исходя из определения концевых множителей (6):

$$\begin{aligned} \sum_{k=-S+1}^S k \delta f_k &= \sum_{k=-S+1}^S k \delta n_{N+1}^{(k)} + \\ + \sum_{k=-S+1}^S k \delta n_N^{(k-1/2)} &= \sum_{k=-S+1}^S k \delta n_{N+1}^{(k)} + S \delta n_{N+1}^{(-S)} + \\ + \sum_{k=-S+1}^S \left(k - \frac{1}{2} \right) \delta n_N^{(k-1/2)} + \\ + \frac{1}{2} \sum_{k=-S+1}^S \delta n_N^{(k-1/2)}. \end{aligned} \quad (36)$$

Последняя сумма обращается в нуль, поскольку в ней суммирование распространяется по всем возможным проекциям полного спина, относящегося к N -дырочным состояниям. Первая и третья суммы — поправка к спиновому моменту, а второе слагаемое преобразуется в сумму по вариациям концевых множителей с помощью формулы (26) при $p = 0$:

$$S \delta n_N^{(-S)} = -S \delta n_N^{(S)} = -S \sum_{k=1-S}^S \delta f_k. \quad (37)$$

В результате выражаем вариацию спинового момента через вариации концевых множителей:

$$\begin{aligned} \delta M &= \sum_{k=1-S}^S (S+k) \delta f_k = \sum_{p=1}^{2S} p \delta \tilde{f}_{2S+1-p} = \\ &= \sum_{n=1}^{2S} (2S+1-n) \delta \tilde{f}_n. \end{aligned} \quad (38)$$

Здесь и ниже использована иная нумерация концевых множителей: $\tilde{f}_n = f_{S+1-n}$, $n = 1, 2, \dots, 2S$.

Соотношения (26), (35) и (38) позволяют в качестве переменных использовать только концевые множители и их вариации, а затем определить восприимчивость как функцию перенормированной температуры и химического потенциала (см. (18)).

Для нахождения условий ферромагнитной неустойчивости достаточно записать условия разрешимости однородной системы уравнений, полученной из уравнений (19), (24), (26) и (32) при $\delta H = 0$.

В результате находим соотношение между перенормированной температурой и химическим потенциалом, из которого можно получить магнитную фазовую диаграмму в переменных «концентрация-температура».

3. ФЕРРОМАГНЕТИЗМ НИКЕЛЯ

В случае Ni, Pd и Pt d -система резонирует между пустыми (десятиэлектронными) и однодырочными (девятиэлектронными) состояниями.

Рассмотрим предельный случай, когда влиянием кристаллического поля можно пренебречь по сравнению с шириной дырочной зоны проводимости. При нулевом магнитном поле и бесконечной энергии Хаббарда получаем, согласно (17), следующее уравнение состояния:

$$\begin{aligned} h_d &= 2\kappa f \sum_{\mathbf{p}} n_F(\xi_{\mathbf{p}}), \quad \xi_{\mathbf{p}} = ft_{\mathbf{p}} - \mu, \\ f &= 1 - \frac{h_d(2\kappa - 1)}{2\kappa}. \end{aligned} \quad (39)$$

Здесь $\kappa = 5$ — полное число орбитальных однодырочных состояний, f — концевой множитель, который при нулевом магнитном поле есть линейная функция среднего числа дырок, приходящихся на одну ячейку n_h . Химический потенциал μ включает в себя сумму всех однопетлевых собственно-энергетических частей, которые при нулевом магнитном поле не зависят ни от спиновых, ни от орбитальных индексов.

При конечном магнитном поле удобно выделить спиновую и орбитальную части и записать уравнение для среднего числа дырок, имеющих заданную величину проекции спина σ и одночастичного орбитального момента:

$$\begin{aligned} n_m^{\sigma} &= f_m^{\sigma} \sum_{\mathbf{p}} n_F(\xi_m^{\sigma}(\mathbf{p})), \\ \xi_m^{\sigma}(\mathbf{p}) &= f_m^{\sigma} t_{\mathbf{p}} + \Sigma_m^{\sigma} - \mu - \sigma H - mH, \\ f_m^{\sigma} &= n_0 + n_m^{\sigma}. \end{aligned} \quad (40)$$

Здесь концевые множители равны сумме среднего числа пустых n_0 и однодырочных n_m^{σ} состояний, так что их вариация, связанная с вариацией магнитного поля, совпадает с вариацией однодырочных состояний: $\delta n_m^{\sigma} = \delta f_m^{\sigma}$.

Уравнения для однопетлевых собственно-энергетических частей имеют весьма простой вид, поскольку для упрощения мы предполагаем, что спектр

энергетических возбуждений диагонален как по спиновым, так и по орбитальным индексам:

$$\begin{aligned}\Sigma_m^\sigma = -T \sum_{\mathbf{p}, k, \omega} t_{\mathbf{p}} \{ G_\omega^{\sigma, k}(\mathbf{p}) + G_\omega^{-\sigma, k}(\mathbf{p}) \} + \\ + T \sum_{\mathbf{p}, \omega} t_{\mathbf{p}} G_\omega^{\sigma, m}(\mathbf{p}).\end{aligned}\quad (41)$$

Последнее слагаемое сокращается с первым слагаемым в первой сумме, что соответствует нулевой амплитуде рассеяния возбуждений с одинаковыми спиновыми и орбитальными индексами. В нашем представлении одночастичная функция Грина диагональна, так что суммирование по частоте $\omega_n = \pi T(2n+1)$ приводит к известной функции Ферми:

$$\begin{aligned}\Sigma_m^\sigma = - \sum_{\mathbf{p}, k} t_{\mathbf{p}} \{ n_F(\xi_k^\sigma(\mathbf{p})) + n_F(\xi_k^{-\sigma}(\mathbf{p})) \} + \\ + \sum_{\mathbf{p}} t_{\mathbf{p}} n_F(\xi_m^\sigma(\mathbf{p})).\end{aligned}\quad (42)$$

Для нахождения условий возникновения ферромагнитной неустойчивости достаточно определить условия появления ненулевых вариаций средних чисел заполнения δn_m^σ при нулевой вариации величины магнитного поля H . Предположим, что вариации не зависят от орбитальной переменной m , но меняют знак при изменении знака проекции спина:

$$\delta n_m^\sigma = -\delta n_m^{-\sigma} = \delta f^\sigma = -\delta f^{-\sigma}. \quad (43)$$

Независимость вариации от орбитальных индексов соответствует возможности разделения восприимчивости на спиновую и орбитальную части и дальнейшего выделения сингулярной части спиновой восприимчивости. Удается доказать, что орбитальная неустойчивость в кубической решетке не возникает, так что ниже зависимость от орбитальных индексов не рассматривается.

Вариация уравнений (40) и (41) приводит к следующим уравнениям:

$$\begin{pmatrix} 1 - K - fD_1 & -fD_0 \\ -D_2 & 1 - D_1 \end{pmatrix} \times \begin{pmatrix} \delta f^\sigma \\ \delta \Sigma^\sigma \end{pmatrix} = \\ = \begin{pmatrix} -fD_0 \sigma \delta H \\ -D_1 \sigma \delta H \end{pmatrix}. \quad (44)$$

Все коэффициенты определяются через затравочную плотность состояний $\rho_0(\epsilon)$:

$$\begin{aligned}K = \int \rho(\epsilon) n_F(f\epsilon - \mu) d\epsilon, \\ D_k = \int \rho(\epsilon) \epsilon^k n'_F(f\epsilon - \mu) d\epsilon.\end{aligned}\quad (45)$$

Решение системы уравнений (44) позволяет определить восприимчивость:

$$\chi(T) = 2\kappa \frac{\mu_B^2}{v_s} \frac{\delta f^\sigma}{\delta H} = 2\kappa \frac{\mu_B^2}{v_s} \times \\ \times \frac{-fD_0}{1 - K - fD_1 - (1 - K)D_1 - f(D_0D_2 - D_1^2)}, \quad (46)$$

здесь v_s — объем элементарной ячейки, μ_B — магнетон Бора. Возникновение ферромагнитного упорядочения находим из условия возможности разрешения однородной системы уравнений (44) при $\delta H = 0$:

$$1 - K = (f + 1 - K)D_1 + f(D_0D_2 - D_1^2), \quad (47)$$

при $T = 0$:

$$1 - K = \frac{fD_1}{1 - D_1}. \quad (48)$$

Уравнение состояния, устанавливающее связь между химическим потенциалом, плотностью и температурой, также выражается через функцию K и параметр κ , обозначающий число орбитальных компонент:

$$n = 2\kappa fK, \quad f = 1 - n \left(1 - \frac{1}{2\kappa} \right), \quad (49)$$

где κ — степень орбитального вырождения.

В пределе $T \rightarrow 0$ эти соотношения упрощаются:

$$\begin{aligned}K = \int_{-\infty}^{\nu} \rho(\epsilon) d\epsilon, \quad fD_1 = -\nu \rho(\nu), \\ f = \frac{1}{1 + (2\kappa - 1)K}, \quad n = \frac{2\kappa K}{1 + (2\kappa - 1)K}.\end{aligned}\quad (50)$$

Поскольку все величины выражаются через единственный параметр ν , после подстановки в условие ферромагнитной неустойчивости удается определить критические значения, которым соответствует область существования ферромагнетизма при $T = 0$.

В модели полуэллиптической плотности состояний, когда $\rho(\epsilon) = 2\sqrt{1 - \epsilon^2}/\pi$, имеем следующее условие:

$$\begin{aligned}K = \frac{\alpha - \sin \alpha}{2\pi}, \quad fD_1 = \frac{\sin \alpha}{\pi}, \\ \frac{1 - K}{-(2\kappa - 1)K^2 + (2\kappa - 2)K + 2} = \frac{\sin \alpha}{\pi}.\end{aligned}\quad (51)$$

При заданной кратности вырождения κ последнее уравнение определяет критическую величину K_c ,

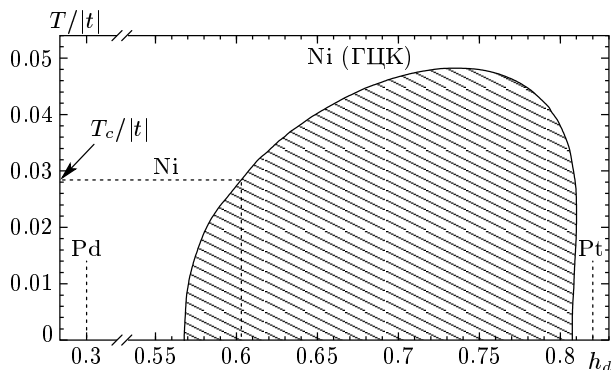


Рис. 2. Фазовая диаграмма никеля, палладия и платины. Ферромагнитная область заштрихована. Стрелкой отмечено теоретическое значение температуры перехода; $T_c/|t| = (627.4 \cdot 2)/(3.78 \cdot 11606) = 0.0286$

которая соответствует критической концентрации $n_c = 2\kappa K_c/[1 + (2\kappa - 1)K_c]$.

При $\kappa = 1, 2$ уравнения решений не имеют [5]. Если же $\kappa = 5$, то получаем две критические точки: $K_{c1} = 0.1161$, т. е. $n_{c1} = 0.5671$, и $K_{c2} = 0.295$, т. е. $n_{c2} = 0.8071$.

Таким образом, для модели полуэллиптической зоны ферромагнетизм существует в конечной области концентраций от $n_{c1} = 0.56710$ до $n_{c2} = 0.8071$ (см. рис. 2).

Наша теория качественно объясняет магнитные свойства металлов 8-й подгруппы — Ni, Pd и Pt. Все они имеют кубическую элементарную ячейку ГЦК-типа. Суммарное число электронов проводимости равно 10, а число электронов на недозаполненной s -оболочке не превышает единицу. Согласно зонным расчетам число s -электронов на незаполненной оболочке составляет: 0.81, 0.59, 0.94 соответственно для Ni, Pd и Pt. Отсюда можно заключить, что число дырочных d -состояний (h_d) равно соответственно 0.81, 0.59 и 0.94. Таким образом, число дырочных состояний никеля является промежуточным между h_d для палладия и платины. Естественно предположить, что Pd и Pt по своей концентрации дырок находятся вне области существования ферромагнитной неустойчивости, в то время как промежуточная величина дырочной концентрации Ni находится внутри области существования ферромагнитной неустойчивости (см. рис. 2, на котором можно видеть количественное согласие между экспериментальным и теоретическим значениями магнитного момента насыщения).

4. ФЕРРОМАГНЕТИЗМ КОВАЛЬТА

Рассмотрим случай, когда система резонирует между однодырочными и двухдырочными высокоспиновыми состояниями со спином 1. Выразим вариацию двухдырочных чисел заполнения через вариации двух концевых множителей. В согласии с (26) получим

$$\delta n_{II}^\sigma = \sum_{k=1}^2 \delta f_k^\sigma, \quad \delta n_{II}^0 = 0. \quad (52)$$

Эти соотношения следует использовать для получения уравнений для вариации концевых множителей δf_k^σ :

$$\begin{aligned} b_1^2 \delta n_{II}^\sigma &= \sum_{k=1}^2 \delta f_k^\sigma = (K + g^2 f D_1) \sum_{k=1}^2 b_k^2 \delta f_k^\sigma + \\ &+ f D_0 \sum_{k=1}^2 b_k^2 \delta \Sigma_k^\sigma - f D_0 b^2 \delta H. \end{aligned} \quad (53)$$

Здесь необходимо использовать значения генеалогических коэффициентов (6) при $S = 1$, а также обозначения (22):

$$b_1^2 = 1, \quad b_2^2 = \frac{1}{2}, \quad \sum_{k=1}^2 b_k^2 = \frac{3}{2}, \quad g^2 = b^2(\kappa - 1), \quad (54)$$

что соответствует выбору максимально возможного числа вырожденных d -орбиталей ($\kappa = 2, 3$ или $\kappa = 5$).

Здесь и ниже

$$\begin{aligned} K &= \sum_{\mathbf{p}} n_F(\xi_{\mathbf{p}}), \quad D_k = \sum_{\mathbf{p}} (t_{\mathbf{p}})^k n'_F(\xi_{\mathbf{p}}), \\ \xi_{\mathbf{p}} &= g^2 f t_{\mathbf{p}} - \mu. \end{aligned} \quad (55)$$

Два других уравнения запишем в согласии с (24) с использованием дополнительного условия ортогональности $\gamma_1 b_1 = -\gamma_2 b_2$:

$$b_1 \gamma_1 \delta n_{II}^\sigma = K \sum_{k=1}^2 b_k \gamma_k \delta f_k^\sigma + A \sum_{k=1}^2 b_k \gamma_k \delta \Sigma_k^\sigma. \quad (56)$$

Соотношения (52) позволяют исключить из уравнений вариации двухчастичных чисел заполнения, так что уравнения (53) и (56) переписываются следующим образом:

$$\begin{aligned} \delta f_1 + \delta f_2 &= (K + g^2 f D_1) \sum_{k=1}^2 b_k^2 \delta f_k^\sigma + \\ &+ f D_0 \sum_{k=1}^2 b_k^2 \delta \Sigma_k^\sigma - f D_0 b^2 \delta H, \end{aligned} \quad (57)$$

$$\delta f_1 + \delta f_2 = (\delta f_1 - \delta f_2)K + fA(\delta\Sigma_1^\sigma - \delta\Sigma_2^\sigma). \quad (58)$$

Здесь было использовано условие $\gamma_1 b_1 = -\gamma_2 b_2$ и резонансный коэффициент A , определенный в (25).

Полученные уравнения при нулевых поправках к собственно-энергетическим частям $\delta\Sigma$ определяют восприимчивость и границу ферромагнитной неустойчивости в нульпетлевом приближении:

$$K(1-K) - fg^2(1/3 + K)D_1. \quad (59)$$

Уравнения, связывающие между собой вариации чисел заполнения, содержат теперь также вариации собственно-энергетических частей (см. рис. 1).

При рассмотрении однопетлевых собственно-энергетических диаграмм можно заметить, что недиагональные по номерам перехода ($k, p = 1, 2$) собственно-энергетические части обращаются в нуль, в то время как диагональные определяются через интегралы от функций Грина с заданной проекцией спина σ :

$$\begin{aligned} \Sigma_1^{(a,\sigma)} &= -(\kappa-3)J_1^{(\sigma)} - (\kappa-1)J_2^{(-\sigma)}, \\ \Sigma_2^{(a,\sigma)} &= -(\kappa-1)J_1^{(-\sigma)} + 2J_2^{(-\sigma)} - (\kappa-3)J_2^{(\sigma)}. \end{aligned} \quad (60)$$

Здесь κ — полное число орбитальных компонент; в нашем случае $\kappa = 2$, $\kappa = 3$ или $\kappa = 5$.

Величины, стоящие справа, не зависят от номера атомного состояния и при заданном σ различаются множителем, пропорциональным квадрату соответствующего генеалогического коэффициента $g_1^2 = 1$ или $g_2^2 = 1/2$:

$$J_k^{(\sigma)} = T \sum_{n,\omega,\mathbf{p}} t_{\mathbf{p}}^{(k,n)} G_\omega^{(n,k)} \propto g_k^2 C(\sigma). \quad (61)$$

В нулевом магнитном поле функции $C(\sigma)$ не зависят от проекции спина, так что после их подстановки в (61) можно обнаружить, что в этом пределе обе собственно-энергетические части сводятся к постоянной, которая приводит к поправке к химическому потенциалу и ниже не учитывается.

Уравнения для $\delta\Sigma$ получаем в согласии с общими соотношениями (31)–(34). Численные значения матрицы \hat{S} , построенной в соответствии с определением матрицы собственной энергии с помощью (60) и рис. 1, в данном случае имеет следующий вид:

$$\begin{aligned} \hat{S} &= \begin{pmatrix} 3-\kappa & (\kappa-1)/2 \\ \kappa-1 & (1-\kappa)/2 \end{pmatrix}, \\ \hat{R} &= \begin{pmatrix} (5-\kappa)/2 \\ (\kappa-1)/2 \end{pmatrix}. \end{aligned} \quad (62)$$

Матрица \hat{U} представляется в виде произведений $U_{k,n} = R_k b_n / b^2$:

$$\hat{U} = \begin{pmatrix} (5-\kappa)/3 & (5-\kappa)/6 \\ (\kappa-1)/3 & (\kappa-1)/6 \end{pmatrix}. \quad (63)$$

Оператор $\hat{F}^{(0)} = Q(\mu)\hat{W}$, где Q определено в (33), а матрица \hat{W} имеет нулевую сумму элементов каждой строки:

$$\hat{W} = \hat{U} - \hat{S} = \begin{pmatrix} 2(\kappa-2)/3 & 2(2-\kappa)/3 \\ 2(-\kappa+1)/3 & 2(\kappa-1)/3 \end{pmatrix}. \quad (64)$$

Неоднородное слагаемое пропорционально двумерному вектору \hat{R} .

Запишем уравнения для поправок к концевым множителям для высокоспиновых $3d$ -дырочных состояний, когда $\kappa = 5$:

$$\begin{pmatrix} 1-b_1^2 P & 1-b_2^2 P & -fD_0 b_1^2 & -fD_0 b_2^2 \\ 1-K & 1+K & -fA & fA \\ -g^2 D_2 K & -g^2 D_2 K & 1-D_1 b_1^2 & 3/4-D_1 b_2^2 \\ 0 & 0 & 1+2Q & -2Q \end{pmatrix} \times \begin{pmatrix} \delta f_1 \\ \delta f_2 \\ \delta\Sigma_1 \\ \delta\Sigma_2 \end{pmatrix} = \begin{pmatrix} -fD_0 b^2 \delta H \\ 0 \\ -D_1 b^2 \delta H \\ 0 \end{pmatrix}, \quad (65)$$

где

$$\begin{aligned} P &= K + g^2 f D_1, & f &= \frac{1}{10(2K+1)}, \\ g^2 &= 4b^2 = 6, & n_d &= \frac{1+5K}{1+2K}. \end{aligned} \quad (66)$$

Приравнивая соответствующий определитель к нулю, получаем уравнение для нахождения условия ферромагнитной неустойчивости. При $T = 0$, когда выполняется условие $D_2 D_0 - D_1^2 = 0$, имеем уравнение

$$\begin{aligned} -\frac{4}{3}g^2 f A D_2 + K(1-K)(3+14Q) &= \\ = \frac{1}{3}f g^2 D_1 (3K+1)(3+14Q) &+ \\ + 2D_1(1+6Q)K(1-K). \end{aligned} \quad (67)$$

Все коэффициенты зависят от положения химического потенциала.

Для модели полуэллиптической зоны все величины, входящие в уравнения, удобно выразить через параметр $\alpha = \pi + 2 \arcsin(\mu/g^2 f)$:

$$K = \frac{\alpha - \sin \alpha}{2\pi}, \quad D_0 = -\frac{2 \sin(\alpha/2)}{f \pi g^2},$$

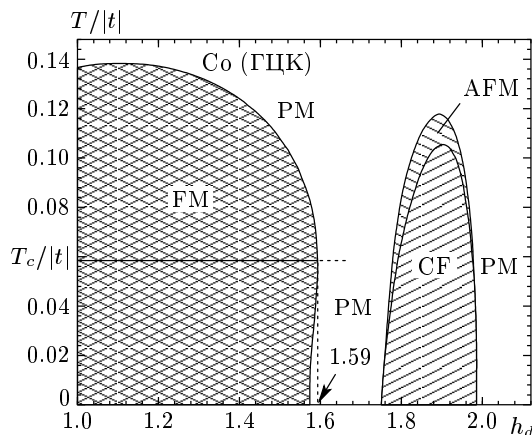


Рис. 3. Фазовая диаграмма кобальта: FM — ферромагнитные области, AFM — антиферромагнитные области, CF — смешанная фаза, PM — парамагнитные области; $T_c/|t| = (1388 \cdot 2)/(4.35 \cdot 11606) = 0.05984$

$$\begin{aligned} D_1 &= \frac{\sin \alpha}{f \pi g^2}, \quad D_2 = \frac{D_1^2}{D_0} = -\frac{\cos(\alpha/2) \sin \alpha}{f \pi g^2}, \\ A(\mu) &= \frac{2}{\pi f g^2} \left\{ \ln \left| \operatorname{tg} \left[\frac{\pi - \alpha}{4} \right] \right| + \sin \frac{\alpha}{2} \right\}, \\ Q(\mu) &= \frac{K_0 - \theta(\alpha - \pi)}{f g^2}. \end{aligned} \quad (68)$$

Возникающая в коэффициенте $A(\mu)$ логарифмическая расходимость при $\mu \rightarrow 0$ в выражении (67) компенсируется множителем D_2 .

В согласии с общей формулой (38), поправка к магнитному моменту выражается через линейную комбинацию поправок к концевым множителям:

$$\delta M = 2\delta n_{\text{II}}^1 + \delta n_{\text{I}}^{1/2} = 2\delta f_1 + \delta f_2. \quad (69)$$

После вычисления последней суммы получим восприимчивость

$$\chi = \frac{2\kappa\mu_b^2}{v_0} \frac{[-fD_0(1+3K)(3+14Q) - 4AD_1]}{D}, \quad (70)$$

где величина, стоящая в знаменателе, имеет следующий вид:

$$\begin{aligned} D &= -\frac{4}{3}g^2AD_2 + K(1-K)(3+14Q) - \\ &- fg^2D_1 \left(K + \frac{1}{3} \right) (14Q+3) - 2D_1(1+6Q)K(1-K) - \\ &- 2fg^2 \left(\frac{1}{3} + K \right) (1+6Q)(D_2D_0 - D_1^2). \end{aligned} \quad (71)$$

Численное решение уравнения (67) определяет область ферромагнитной неустойчивости (см. рис. 3):

$$1 < n_d < 1.5732. \quad (72)$$

В нуль-петлевом приближении мы находим менее широкую область ферромагнитной неустойчивости: $1 < n_d < 1.3946$.

Особые свойства фазовой диаграммы, проявляющиеся в области положительных значений химического потенциала, связаны с появлением функции A , которая при $T = 0$ имеет логарифмическую особенность при нулевом значении химического потенциала (т. е. при $\alpha = \pi$). Эта особенность компенсируется множителем D_2 , который обращается в нуль именно в той же точке. Однако вне этой точки, а также при $\alpha \neq 0, 2\pi$ произведение AD_2 оказывается положительным. Это и есть причина, по которой система остается парамагнитной в широкой области концентраций, за исключением двух узких областей, которые примыкают к точкам, соответствующим критическим значениям $\alpha = 0$ и $\alpha = \pi$.

Другой особенностью изучаемой системы является возможность изменения знака магнитной восприимчивости за счет обращения в нуль числителя (N) магнитной восприимчивости, так что существует узкая область, внутри которой восприимчивость оказывается отрицательной. В пределе $T = 0$ ширина левой части равна нулю, правая часть этой области имеет узкую, но конечную ширину:

$$1.995 < h_d < 1.999. \quad (73)$$

Со стороны высоких температур граница этой области определяется условием обращения в нуль величины магнитной восприимчивости. Со стороны низких температур граница определяется условием обращения восприимчивости в бесконечность. Отсюда можно заключить, что узкая область отрицательной восприимчивости отвечает антиферромагнитной фазе. Внутри этой области система, по-видимому, также является упорядоченной, так как она граничит с антиферрометаллической фазой, а на границе с ней восприимчивость обращается в бесконечность.

5. ФЕРРОМАГНЕТИЗМ ЖЕЛЕЗА

В этом случае система резонирует между двух- и трехдырочными высокоспиновыми состояниями. Соответственно этому запишем уравнения для находж-

дения трехдырочных чисел заполнения. В согласии с общими соотношениями (19) имеем

$$\begin{aligned} b_1^2 \delta n_{\text{III}}^{(3\sigma/2)} + b_2^2 \delta n_{\text{III}}^{(\sigma/2)} + b_3^2 \delta n_{\text{III}}^{(-\sigma/2)} = \\ = K_0 \sum_{k=1,2,3} b_k^2 \delta f_k^\sigma + f \sum_{k=1,2,3} b_k^2 \delta \Sigma_k^\sigma D_0 + \\ + b^2 f \sum_{k=1,2,3} b_k^2 \delta f_k^\sigma D_1 - b^2 f \sigma \delta H D_0. \quad (74) \end{aligned}$$

Здесь необходимо использовать численные значения генеалогических коэффициентов, полученные из (6), для переходов к трехдырочным состояниям со спином $S = 3/2$:

$$\begin{aligned} b_1^2 = 1, \quad b_2^2 = \frac{2}{3}, \quad b_3^2 = \frac{1}{3}, \\ b^2 = \sum_k b_k^2 = 2, \\ g^2 = b^2 C_{\kappa-4}^2 = (\kappa-4)(\kappa-3). \end{aligned} \quad (75)$$

С помощью общих соотношений (26) вариации чисел заполнения выражаются через вариации концевых множителей:

$$\begin{aligned} \delta n_{\text{III}}^{(3\sigma/2)} = \delta f_1 + \delta f_2 + \delta f_3, \quad \delta n_{\text{III}}^{(1\sigma/2)} = \delta f_2, \\ \delta n_{\text{II}} = -\delta f_2 - \delta f_3. \end{aligned} \quad (76)$$

Два дополнительных соотношения находим с помощью условий ортогональности. Так, при условии $b_3 \beta_3 = b_1 \beta_1$, $b_2 \beta_2 = -2b_1 \beta_1$, в согласии с (24), имеем следующее:

$$\begin{aligned} (1-K)(\delta n_{\text{III}}^{(3\sigma/2)} - 3\delta n_{\text{III}}^{(1\sigma/2)}) = \\ = f A(\mu) (\delta \Sigma_1 - 2\delta \Sigma_2 + \delta \Sigma_3). \end{aligned} \quad (77)$$

Если же положить $\beta_2 = 0$, $b_3 \beta_3 = -b_1 \beta_1$, то получим

$$\begin{aligned} (1-K_0) (\delta n_{\text{III}}^{(3\sigma/2)} + \delta n_{\text{III}}^{(1\sigma/2)}) - 2K_0 \delta n_{\text{II}} = \\ = f A(\mu) (\delta \Sigma_1 - \delta \Sigma_3). \end{aligned} \quad (78)$$

Коэффициенты K , D_k , A определены теми же общими формулами, что и в предыдущем разделе.

Три уравнения для диагональных собственно-энергетических частей записываются в согласии с рис. 1 в виде

$$\begin{aligned} \Sigma_1^{(a,\sigma)} &= 2J_1^{(\sigma)} - (\kappa-3)J_1^{(\sigma)} - (\kappa-2)J_3^{(-\sigma)}, \\ \Sigma_2^{(a,\sigma)} &= 2J_2^{(\sigma)} - (\kappa-2)J_2^{(-\sigma)} - \\ &\quad - (\kappa-3)J_2^{(\sigma)} + 3J_3^{(-\sigma)}, \quad (79) \\ \Sigma_3^{(a,\sigma)} &= -(\kappa-2)J_1^{(-\sigma)} + 3J_2^{(-\sigma)} + \\ &\quad + 2J_3^{(\sigma)} - (\kappa-3)J_3^{(\sigma)}. \end{aligned}$$

Здесь $J_s^{(\sigma)} = T \sum_{n,\omega,\mathbf{p}} t_{\mathbf{p}}^{(s,n)} G_\omega^{(n,s)}(\mathbf{p})$ — сумма произведений матричных элементов матрицы перехода $\hat{t}(\mathbf{p})$ на элементы матрицы виртуальной функции Грина $\hat{G}_\omega(\mathbf{p})$, относящейся к заданной проекции спина и заданному a -состоянию ($a = xy, yz, zx, x^2 - y^2, 3z^2 - r^2$).

Нашей следующей задачей является вычисление поправок $\delta \Sigma_k$, пропорциональных первой степени магнитного поля.

Три вариации $\delta \Sigma$ удовлетворяют общим уравнениям (32) с коэффициентами, выражаяющимися через элементы матрицы \hat{S} .

В свою очередь, матрицы \hat{S} и \hat{R} находим через коэффициенты, входящие в уравнения (79):

$$\begin{aligned} \hat{S} &= \begin{pmatrix} 5-\kappa & 0 & (\kappa-2)/3 \\ 0 & 2 & -1 \\ \kappa-2 & -2 & (5-\kappa)/3 \end{pmatrix}, \\ \hat{R} &= \begin{pmatrix} (13-2\kappa)/3 \\ 1 \\ (13-2\kappa)/3 \end{pmatrix}. \end{aligned} \quad (80)$$

Для d -электронов $\kappa = 3, 4$ или 5 . Матрица \hat{U} представляется в виде произведений $U_{k,n} = R_k b_n^2 / 2$:

$$\begin{aligned} \hat{U} &= \\ &= \begin{pmatrix} (13-2\kappa)/6 & (13-2\kappa)/9 & (13-2\kappa)/18 \\ 1/2 & 1/3 & 1/6 \\ (13-2\kappa)/6 & (13-2\kappa)/9 & (13-2\kappa)/18 \end{pmatrix}. \end{aligned} \quad (81)$$

Оператор $\hat{F}^{(0)} = Q(\mu) \hat{W}$, где величина Q определена в (33), а матрица $\hat{W} = \hat{U} - \hat{S}$ имеет нулевую сумму элементов каждой строки:

$$\begin{aligned} \hat{W} &= \\ &= \begin{pmatrix} (4\kappa-17)/6 & (13-2\kappa)/9 & (25-8\kappa)/18 \\ 1/2 & -5/3 & 7/6 \\ (5-4\kappa)/6 & (2\kappa+11)/9 & (8\kappa-37)/18 \end{pmatrix}. \end{aligned} \quad (82)$$

В частном случае $\kappa = 5$ необходимо решать следующую систему уравнений:

$$\begin{pmatrix} 1-(K_0+fg^2D_1) & 4/3-2(K_0+fg^2D_1)/3 & 1-(K_0+fg^2D_1)/3 & -fD_0 & -2fD_0/3 & -fD_0/3 \\ 1-K_0 & -2(1-K_0) & 1-K_0 & -fA & 2fA & -fA \\ 1-K_0 & 2 & 1+K_0 & -fA & 0 & fA \\ -g^2D_2/2 & -g^2D_2/3 & -g^2D_2/6 & Q/2-D_1/2+1 & Q/3-D_1/3 & -5Q/6-D_1/6 \\ -g^2D_2/2 & -g^2D_2/3 & -g^2D_2/6 & Q/2-D_1/2 & -5Q/3-D_1/3+1 & 7Q/6-D_1/6 \\ -g^2D_2/2 & -g^2D_2/3 & -g^2D_2/6 & -5Q/6-D_1/2 & 7Q/3-D_1/3 & Q/6-D_1/6+1 \end{pmatrix} \times \\ \times \begin{pmatrix} \delta f_1 \\ \delta f_2 \\ \delta f_3 \\ \delta \Sigma_1 \\ \delta \Sigma_2 \\ \delta \Sigma_3 \end{pmatrix} = \begin{pmatrix} -b^2 f \sigma \delta H D_0 \\ 0 \\ 0 \\ -\sigma \delta H D_1 \\ -\sigma \delta H D_1 \\ -\sigma \delta H D_1 \end{pmatrix}. \quad (83)$$

Коэффициенты, входящие в эту систему уравнений, выражаются через интегралы от распределения Ферми и зависят от перенормированной температуры и химического потенциала:

$$\begin{aligned} \tilde{T} &= \frac{T}{fg^2}, \quad \tilde{\mu} = \frac{\mu}{fg^2}, \quad f = \frac{(6-h_d)}{120}, \\ g^2 &= 12, \quad K = 3 \frac{(h_d-2)}{(6-h_d)}. \end{aligned} \quad (84)$$

Приравняв нуль определитель этой системы, находим условие возникновения ферромагнитной неустойчивости:

$$\begin{aligned} K(1-K) &= g^2 f D_1 \left(\frac{2}{3} + K \right) + K(1-K) D_1 + \\ &+ fg^2 \left(\frac{2}{3} + K \right) (D_2 D_0 - D_1^2), \end{aligned} \quad (85)$$

к которому необходимо добавить уравнение состояния в виде

$$fg^2 = \frac{6}{15+5K}, \quad h_d = 6 \frac{1+K}{3+K}, \quad 2 < h_d < 3.$$

Если $T = 0$, то $D_2 D_0 = D_1^2$ и для модели полуэллиптической зоны все величины, входящие в уравнения, представляются в виде общих соотношений (68), зависящих от одного параметра α , через который выражается полное число дырок h_d .

В результате получим фазовую диаграмму, изображенную на рис. 4.

Численное решение уравнения (84) дает $\alpha_c = 2.6938$, $K_c = 0.35826$, так что ферромагнитная неустойчивость существует в ограниченной области

концентраций: $2 < h_d < h_c = 2.4298$. Вне этого интервала состояние оказывается парамагнитным [6].

В нуль-петлевом приближении также можно получить конечный интервал концентраций, внутри которого возникает ферромагнитная неустойчивость: $2 < h_d < h_{c0} = 2.339$.

Таким образом, ферромагнетизм существует во всей области от $h_d = 2$ до $h_d = 2.428$. Однако, начиная с $h_d = 2.26$ и до $h_d = 2.428$ неустойчивость, связанная с чисто однопетлевыми поправками, исчезает и остается неустойчивость, которая определяется, в основном, нуль-петлевыми поправками.

Полученный результат имеет отношение к ферромагнетизму объемно-центрированного α -железа, которое имеет магнитный момент насыщения равный $2.2\mu_B$ (см., например, [7]).

Что же касается неферромагнитной фазы γ -железа, то, согласно измерениям, число электронов на d -оболочке составляет примерно 7.5, так что число дырок равно 2.5.

Таким образом, существование ферромагнетизма α -железа объясняется тем, что число дырочных состояний (примерно 2.2) находится внутри интервала существования ферромагнитной неустойчивости. Отсутствие ферромагнетизма γ -железа объясняется тем, что количество дырок на $3d$ -оболочке, равное примерно 2.5, превышает критическое значение, полученное как в нульпетлевом, так и в однопетлевом приближениях.

Качественный вывод о возможности существования ферромагнитного упорядочения на ограниченном интервале концентраций согласуется как с нульпетлевым, так и с однопетлевым приближенным вычислениями.

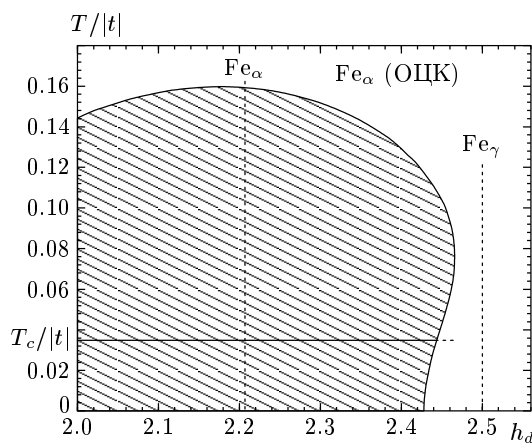


Рис. 4. Фазовая диаграмма железа. Ферромагнитная область заштрихована; $T_c/|t| = (1044 \cdot 2)/(4.82 \cdot 11606) = 0.0373$

Для нахождения магнитной проницаемости достаточно вычислить поправку к величине магнитного момента δm , которая выражается в виде линейной комбинации вариаций концевых множителей (в согласии с (38)):

$$\begin{aligned} \delta m = 2 \left\{ \frac{3}{2} \delta n_{\text{III}}^{(3/2)} + \frac{1}{2} \delta n_{\text{III}}^{(1/2)} + \delta n_{\text{II}}^{(1)} \right\} = \\ = \delta f_3 + 2\delta f_2 + 3\delta f_1. \end{aligned}$$

Вычисляя эту комбинацию с помощью системы уравнений (83), находим восприимчивость

$$\chi = \frac{\mu_B^2}{v_0} 2\kappa \frac{\delta m}{\delta H} = 2\kappa \mu_B^2 \frac{-2fD_0(3K+2)}{v_0 D}, \quad (86)$$

где v_0 — объем элементарной ячейки, μ_B — магнетон Бора,

$$\begin{aligned} D = K(1-K) - g^2 f D_1 \left(\frac{2}{3} + K \right) - K(1-K) D_1 - \\ - f g^2 \left(\frac{2}{3} + K \right) (D_2 D_0 - D_1^2). \quad (87) \end{aligned}$$

Таким образом, удается определить обратную магнитную восприимчивость, относящуюся к парамагнитной части фазовой диаграммы (см. рис. 4).

В данном случае резонансный коэффициент A выпадает из окончательной формулы (86), а числитель магнитной восприимчивости оказывается положительным при любых значениях температуры и химического потенциала.

6. ОБЛАСТЬ $3 < h_d < 4$

Этой области соответствует кубическая фаза парамагнитного марганца, который с понижением температуры переходит в антиферромагнитное состояние. Несмотря на это, рассмотрение данного интервала представляет интерес, поскольку соединения, содержащие катионы марганца, проявляют высокоспиновый ферромагнетизм.

Для изучения переходов между высокоспиновыми трех- и четырехдырочными состояниями используем общие соотношения (6) и (21):

$$\begin{aligned} b_1^2 = 1, \quad b_2^2 = \frac{3}{4}, \quad b_3^2 = \frac{1}{2}, \quad b_4^2 = \frac{1}{4}, \\ b^2 = \sum_{k=1}^4 b_k^2 = \frac{5}{2}, \quad g^2 = b^2 C_{\kappa-1}^3 = 10, \end{aligned} \quad (88)$$

что соответствует выбору максимально возможного числа вырожденных d -орбиталей ($\kappa = 5$).

Дальнейшее рассмотрение соответствует общим соотношениям, приведенным в разд. 2. Формула для восприимчивости имеет следующий вид:

$$\chi = 2\kappa \times 10 \frac{-fD_0(1+K) + AD_1}{v_0 D}, \quad (89)$$

где величина, стоящая в знаменателе, выражается через коэффициенты, вычисленные для парамагнитной фазы:

$$\begin{aligned} D = K(1-K) + g^2 D_2 A - fg^2(K+1)D_1 - \\ - \frac{1}{2}(2Q+3)K(1-K)D_1 - \\ - \frac{1}{2}g^2 f(1+K)(2Q+3)(D_2 D_0 - D_1^2). \quad (90) \end{aligned}$$

В пределе $T = 0$, когда $D_1^2 - D_2 D_0 = 0$, находим условие возникновения ферромагнетизма:

$$\begin{aligned} 2K(1-K) + 2g^2 D_2 A = \\ = [2fg^2(K+1) + (3+2Q)K(1-K)] D_1. \quad (91) \end{aligned}$$

К этим уравнениям необходимо добавить уравнение состояния

$$\frac{1}{f} = 5(8-3n_d), \quad g^2 = 10, \quad n_d = 4 \frac{6-K_0}{8-3K_0}. \quad (92)$$

Численное решение уравнения (91) определяет достаточно широкую область ферромагнитной неустойчивости: $3 < n_d < 3.318$. В нуль-петлевом приближении находим менее широкую область ферромагнитной неустойчивости: $3 < n_d < 3.23497$.

Вычисление коэффициентов при конечной температуре позволяет определить температуру Кюри во всем интервале концентраций, где возможно существование ферромагнетизма (см. рис. 5).

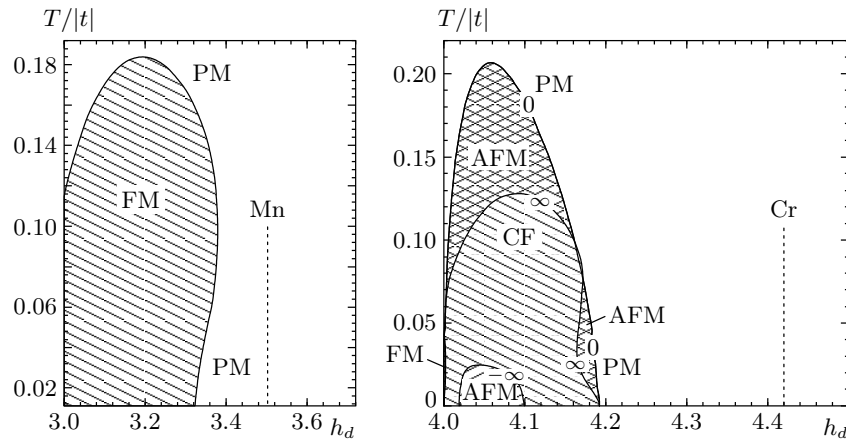


Рис. 5. Фазовая диаграмма высокоспиновых марганца и хрома: FM — ферромагнитные области, AFM — антиферромагнитные области, CF — смешанная фаза, PM — парамагнитные области

7. ОБЛАСТЬ $4 < h_d < 5$

Рассмотрение проводится по той же схеме, что и для марганца.

Сначала выразим вариации средних чисел заполнения $\delta n_V^{(5\sigma/2)}$, $\delta n_V^{(3\sigma/2)}$ и $\delta n_V^{(\sigma/2)}$ через вариации пяти концевых множителей:

$$\begin{aligned} \delta n_V^{(5\sigma/2)} &= \sum_{k=1}^5 \delta f_k^\sigma, & \delta n_V^{(3\sigma/2)} &= \sum_{k=2}^4 \delta f_k^\sigma, \\ && \delta n_V^{(\sigma/2)} &= \delta f_3^\sigma. \end{aligned} \quad (93)$$

Эти выражения следует подставить в уравнения для вариаций концевых множителей δf_k^σ .

Далее с помощью (6) и (21) вычисляем генеалогические коэффициенты:

$$\begin{aligned} b_1^2 &= 1, & b_2^2 &= \frac{4}{5}, & b_3^2 &= \frac{3}{5}, & b_4^2 &= \frac{2}{5}, \\ b_5^2 &= \frac{1}{5}, & b^2 &= \sum_{k=1}^5 b_k^2 = 3, & g^2 &= b^2, \end{aligned} \quad (94)$$

что соответствует выбору максимально возможного числа вырожденных d -орбиталей ($\kappa = 5$).

Поправка к магнитному моменту выражается с помощью (38) через линейную комбинацию поправок к концевым множителям:

$$\begin{aligned} \delta M &= \\ &= 2 \left(\frac{5}{2} \delta n_V^{(5\sigma/2)} + \frac{3}{2} \delta n_V^{(3\sigma/2)} + \frac{1}{2} \delta n_V^{(\sigma/2)} + 2 \delta n_{IV}^{(2)} + \delta n_{IV}^{(1)} \right) = \\ &= 5\delta f_1 + 4\delta f_2 + 3\delta f_3 + 2\delta f_4 + \delta f_5. \end{aligned} \quad (95)$$

После вычисления последней суммы получим восприимчивость

$$\chi = 2\kappa \frac{\mu_B^2}{v_0} \times \frac{[-5fD_0(3K+4)(15-26Q) + 80AD_1(7+2K)]}{D}, \quad (96)$$

где величина, стоящая в знаменателе, имеет следующий вид:

$$\begin{aligned} D &= (15 - 26Q)K(1 - K) + \frac{112}{3}g^2D_2A - \\ &\quad - (31 + 6Q)K(1 - K)D_1 - \\ &\quad - \frac{1}{3}g^2f(3K + 4)(31 + 6Q)(D_2D_0 - D_1^2) + \\ &\quad + \frac{1}{3}fg^2(3K + 4)(15 - 26Q)D_1. \end{aligned} \quad (97)$$

Для нахождения фазовой диаграммы в зависимости от концентрации дырок к этим соотношениям необходимо добавить уравнение состояния

$$\begin{aligned} f &= \frac{1}{25 - 19K}, & n &= 10 \frac{10 - 7K}{25 - 19K}, \\ K &= 25 \frac{n - 4}{19n - 70}. \end{aligned} \quad (98)$$

В пределе $T = 0$, когда $D_1^2 - D_2D_0 = 0$, условие возникновения ферромагнетизма имеет следующий вид:

$$\begin{aligned} 3(15 - 26Q)K(1 - K) + 112g^2D_2A &= \\ &= [fg^2(3K + 4)(15 - 26Q) + \\ &\quad + 3(31 + 6Q)K(1 - K)]D_1. \end{aligned} \quad (99)$$

Численное решение уравнения (99) определяет весьма узкую область ферромагнитной неустойчивости: $4 < n_d < 4.0008829$. В нуль-петлевом приближении мы получили бы широкую область ферромагнитной неустойчивости: $4 < n_d < 4.23$.

Существенное различие между фазовыми диаграммами хрома и марганца связано с появлением функции A . Как уже отмечалось, при $T = 0$ она имеет логарифмическую особенность при нулевом значении химического потенциала (т. е. при $\alpha = \pi$). Эта особенность компенсируется множителями D_1 и D_2 , которые обращаются в нуль именно в этой точке. Вне этой точки произведение AD_2 всюду положительно, но не слишком велико, однако в области $4 < h_d < 5$ оно умножится на большой численный множитель 112.

Другой особенностью изучаемой системы является возможность изменения знака магнитной восприимчивости за счет обращения в нуль числителя (N) магнитной восприимчивости.

При $T = 0$ можно обнаружить достаточно широкую область, внутри которой числитель оказывается отрицательным: $4.00828829 < n_d < 4.1935$.

Таким образом, при $T = 0$ наряду с областями ферромагнитной (100) и антиферромагнитной неустойчивости,

$$\begin{aligned} 4 < n_d &< 4.0008829, \\ 4.01782 < n_d &< 4.098442, \\ D < 0, \quad N > 0, \end{aligned} \quad (100)$$

существуют области с положительной восприимчивостью (см. рис. 5), но с отрицательными числителем и знаменателем (здесь $D < 0, N < 0$):

$$\begin{aligned} 4.008829 < n_d &< 4.01782, \\ 4.098442 < n_d &< 4.1935. \end{aligned} \quad (101)$$

При конечной температуре эта последняя область граничит с антиферромагнитной областью (см. рис. 5), причем на самой границе восприимчивость обращается в бесконечность. Отсюда можно сделать интуитивное заключение о том, что внутри этой области находится упорядоченная фаза смешанного типа.

Как следует из рис. 5, при понижении температуры система переходит не в ферромагнитное, а в антиферромагнитное состояние с отрицательной магнитной восприимчивостью.

При дальнейшем понижении температуры восприимчивость возрастает по абсолютной величине, обращается в бесконечность, а затем переходит в низкотемпературную фазу смешанного типа.

Причина этого явления состоит в наличии сильного взаимодействия антиферромагнитного типа, проявляющегося в виде резонансной функции A , которая при $T = 0$ имеет логарифмическую особенность. Интенсивность этого взаимодействия зависит от величины полного спина в конечном и начальном состояниях. Оно отсутствует в случае нулевого начального спина для Ni, Pd и Pt. В случае кобальта оно входит с отрицательным знаком и поэтому проявляется только при большой энергии возбуждений в неферромагнитной области (см. рис. 3).

В случае высокоспиновых железа и марганца влияние резонанса несущественно. Однако в случае хрома область влияния резонанса перекрывается с областью ферромагнитной неустойчивости, что фактически приводит к ликвидации заметных областей ферромагнитного упорядочения.

8. ВЫВОДЫ

Наша теория качественно объясняет магнитные свойства металлов 8-й подгруппы Ni, Pd и Pt. Таким образом, число дырочных состояний никеля является промежуточным между h_d для палладия и платины. Естественно предположить, что Pd и Pt по своей концентрации дырок находятся вне области существования ферромагнитной неустойчивости, в то время как промежуточная величина дырочной концентрации Ni находится внутри области существования ферромагнитной неустойчивости (см. рис. 2).

При изучении фазовой диаграммы кобальта, железа и марганца мы обнаруживаем качественно иную ситуацию. В этих случаях система резонирует между высокоспиновыми (магнитными) состояниями, так что при малом числе возбуждений, когда амплитуда обменного рассеяния имеет отрицательный знак, система оказывается ферромагнитной. С повышением энергии Ферми происходит изменение знака амплитуды обменного рассеяния, так что для каждого целочисленного интервала дырочной концентрации система перестает быть ферромагнитной, начиная с некоторой критической концентрации.

Для кобальта наблюдаемое значение магнитного момента насыщения ($1.7\mu_B$) несколько превышает критическое значение ($1.59\mu_B$), полученное в настоящей работе.

Для ОЦК-железа, напротив, найденное критическое значение ($2.46\mu_B$) превышает величину магнитного момента насыщения ($2.2\mu_B$). Таким образом, наблюдаемое количество дырочных состояний принадлежит области ферромагнитного упорядочения.

Для неферромагнитной фазы γ -железа и марганца наблюдаемые (антиферромагнитные) значения момента превышают критические значения, вычисленные в настоящей работе.

Таким образом, предлагаемая модель дает возможность количественного описания ферромагнетизма никеля и α -железа.

Кроме того, она дает возможность качественного объяснения причины отсутствия ферромагнетизма у палладия, платины, γ -железа, а также в гипотетических (высокоспиновых) фазах хрома и марганца.

Что же касается кобальта, то здесь необходимо дальнейшее уточнение модели, направленное на возможность ее применения к гексагональной фазе и ГЦК-фазе, с учетом конкретной одночастичной плотности состояний.

ЛИТЕРАТУРА

1. J. Hubbard and K. R. Jain, J. Phys. C **1**, 1650 (1968).
2. Р. О. Зайцев, ЖЭТФ **70**, 1100 (1976).
3. J. Hubbard, Proc. Roy. Soc. A **281** 401 (1964).
4. Д. Т. Смирнов, Ю. Ф. Смирнов, *Теория оптических спектров ионов переходных металлов*, Наука, Москва (1997).
5. Р. О. Зайцев, ЖЭТФ **112**, 2223 (1997).
6. Р. О. Зайцев, Письма в ЖЭТФ **68**, 275 (1998).
7. Д. Гуденаф, *Магнетизм и химическая связь*, Металлургия, Москва (1988).